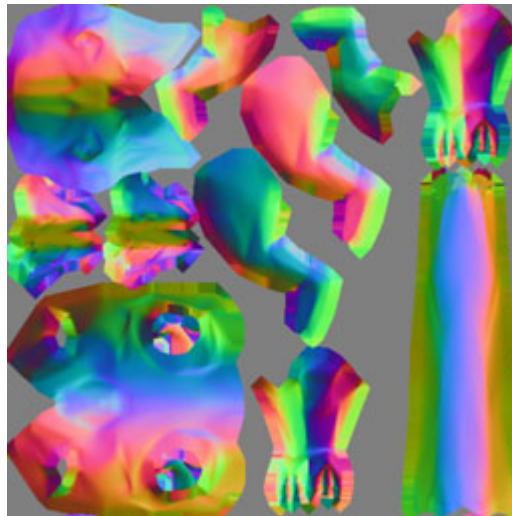


# Normal mapping



+



=



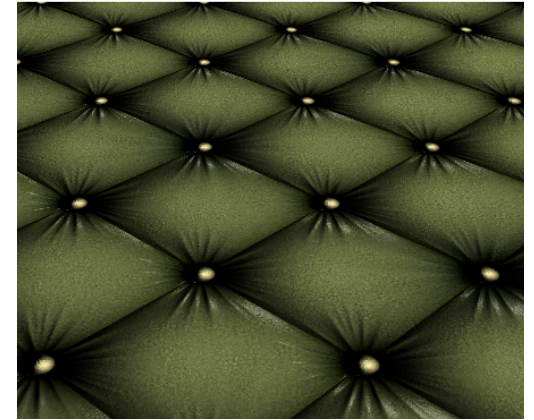
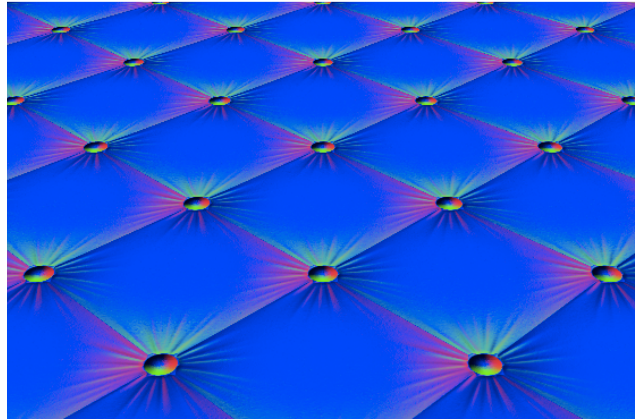
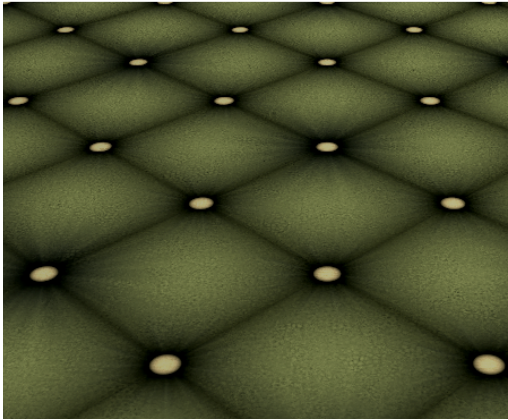
Crédits :

Gaël Guennebaud, Joëlle Thollot, Marco Salvi,  
Akenine-Möller, Haines & Hoffman (« *Real-Time Rendering* », AK Peters)

# Normal mapping

## Idée générale

- représenter les **micro-détails** sous forme d'une **texture de normales** représentant les variations de la surface détaillée
- utiliser un maillage de basse résolution pour la rasterisation
- utiliser la carte de normales lors du shading **par fragment**

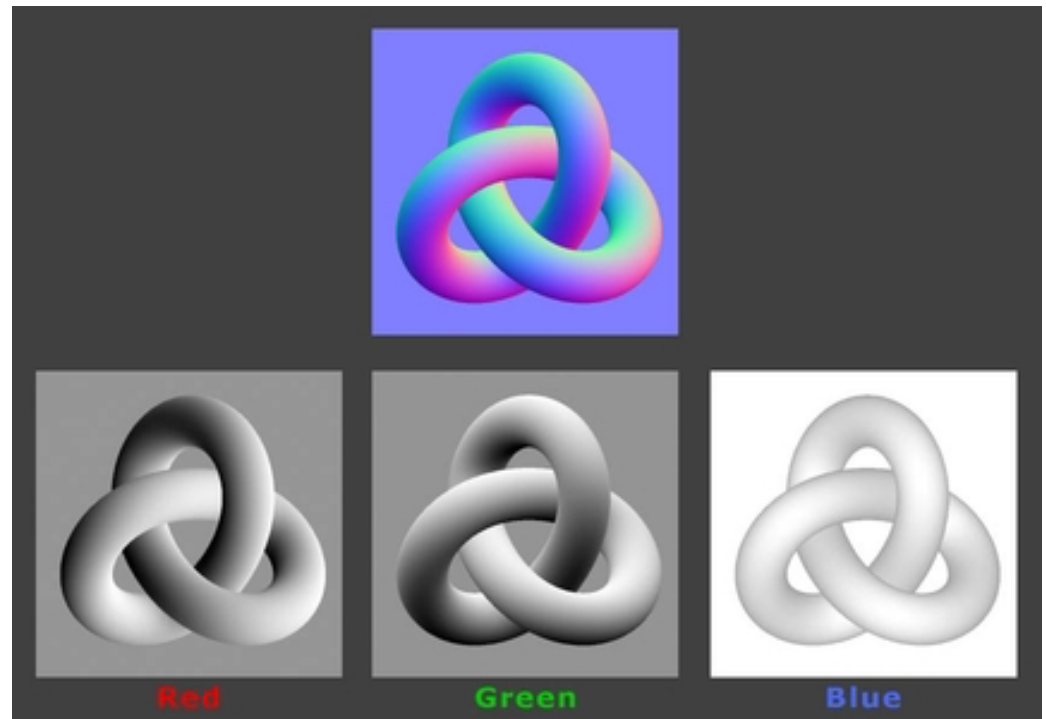


# Stockage

Dans une **image RGB**

$$R = N_x, G = N_y, B = N_z$$

Mapping de  $[-1, 1] \rightarrow [0, 1]$

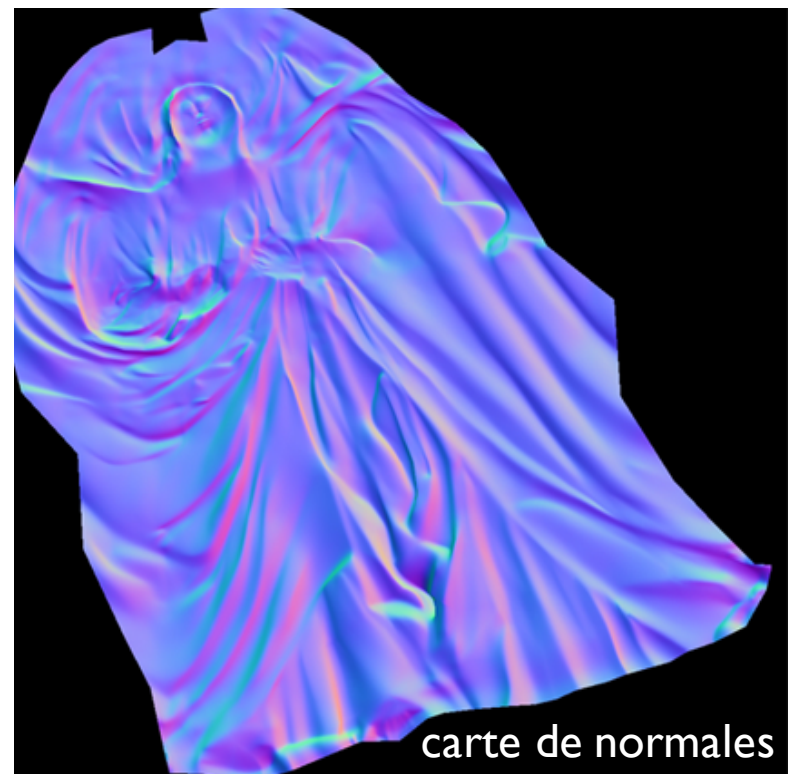
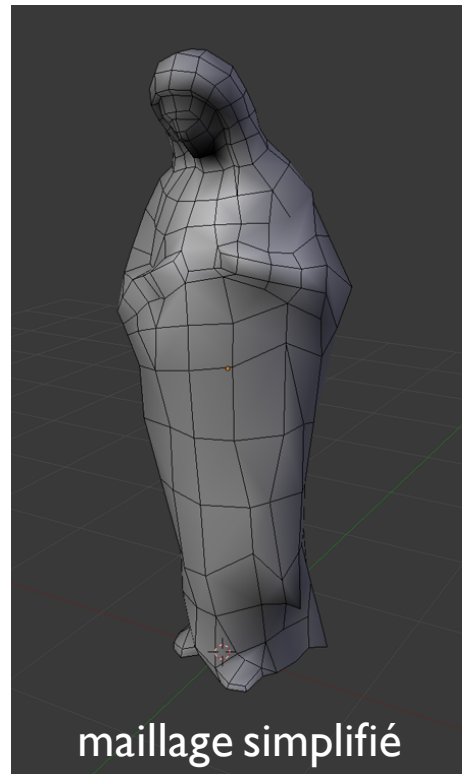


Images par Eric Chadwick

# Calcul d'une carte de normales

## À partir d'un **maillage** 3D très détaillé

1. projeter et rasteriser le maillage dans la texture
2. calculer et stocker les normales en **espace objet** ou **tangent**



# Calcul d'une carte de normales

démo CrazyBump

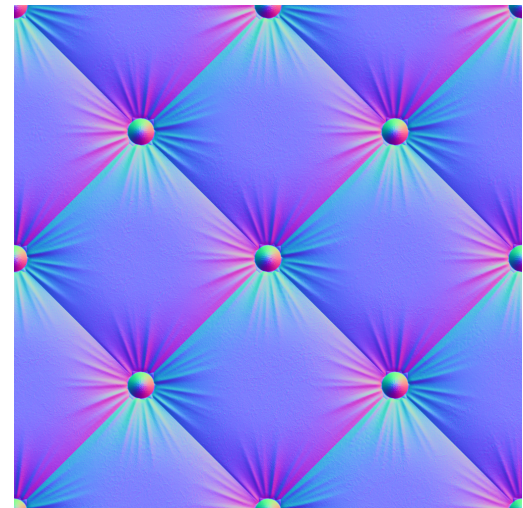
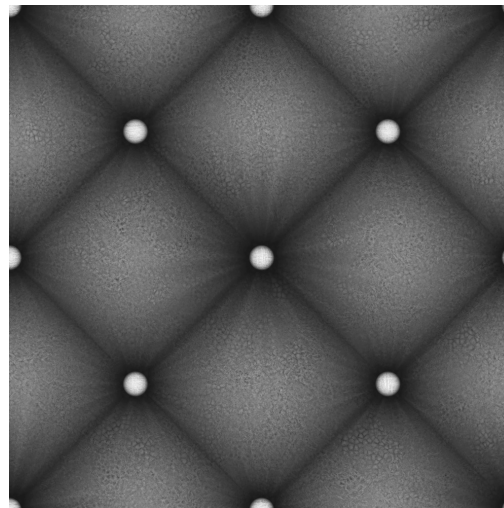
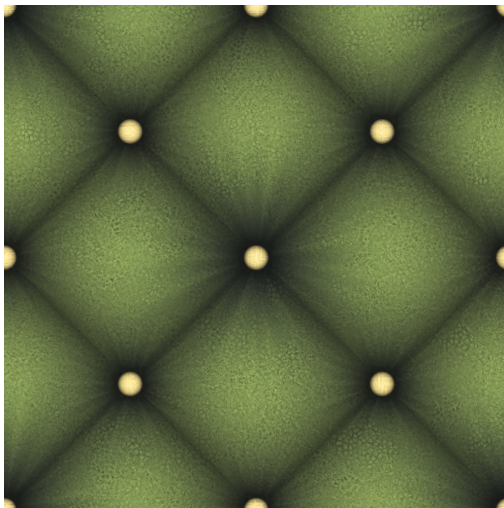


## À partir d'une **image**

1. convertir l'image en champ d'élévation (niveaux de gris)
2. calculer les normales du champ d'élévation (gradient)

Attention : les normales sont représentées dans l'espace de la texture, c.-à-d. dans l'**espace tangent**

⇒ **transformation des normales dans le repère de l'objet avant de réaliser les calculs d'éclairage !**



# Calcul du repère tangent

Pour un triangle, repère tangent défini par :

**T** : tangente, **B** : cotangente, **N** : normale

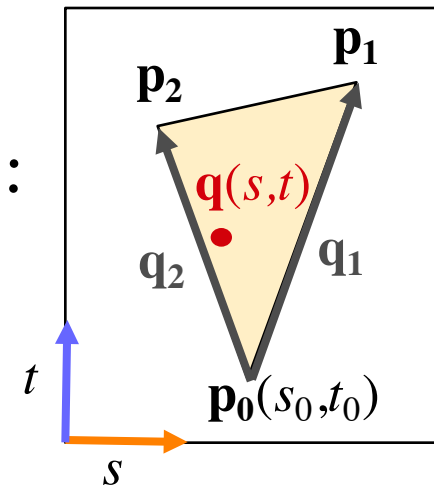
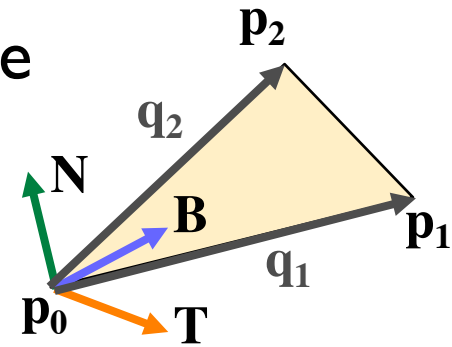
Un point  $\mathbf{q}(s,t)$  du triangle  $\mathbf{p}_0, \mathbf{p}_1, \mathbf{p}_2$  peut être définie comme :  $\mathbf{q} = (s-s_0) \mathbf{T} + (t-t_0) \mathbf{B}$

Soient  $\mathbf{q}_1, \mathbf{q}_2$  tels que :  $\mathbf{q}_1 = \mathbf{p}_1 - \mathbf{p}_0$   
 $\mathbf{q}_2 = \mathbf{p}_2 - \mathbf{p}_0$

On veut **T**, **B**, **N** tels que :  $\mathbf{q}_1 = s_1 \mathbf{T} + t_1 \mathbf{B}$   
 $\mathbf{q}_2 = s_2 \mathbf{T} + t_2 \mathbf{B}$

⇒ 6 équations, 6 inconnues (3 pour **T** et **B**) :

$$\begin{pmatrix} \mathbf{q}_1 & \mathbf{q}_2 \end{pmatrix} = \begin{pmatrix} \mathbf{T} & \mathbf{B} \end{pmatrix} \begin{pmatrix} s_1 & s_2 \\ t_1 & t_2 \end{pmatrix}$$



# Calcul du repère tangent

$$\begin{pmatrix} \mathbf{q}_1 & \mathbf{q}_2 \end{pmatrix} = \begin{pmatrix} \mathbf{T} & \mathbf{B} \end{pmatrix} \begin{pmatrix} s_1 & s_2 \\ t_1 & t_2 \end{pmatrix}$$

$$\Leftrightarrow \begin{pmatrix} \mathbf{T} & \mathbf{B} \end{pmatrix} = \begin{pmatrix} \mathbf{q}_1 & \mathbf{q}_2 \end{pmatrix} \begin{pmatrix} s_1 & s_2 \\ t_1 & t_2 \end{pmatrix}^{-1}$$

$$\Leftrightarrow \begin{pmatrix} \mathbf{T} & \mathbf{B} \end{pmatrix} = \frac{1}{s_1 t_2 - s_2 t_1} \begin{pmatrix} \mathbf{q}_1 & \mathbf{q}_2 \end{pmatrix} \begin{pmatrix} t_2 & -s_2 \\ -t_1 & s_1 \end{pmatrix}$$

$$A^{-1} = \begin{pmatrix} a & b \\ c & d \end{pmatrix}^{-1} = \frac{1}{(ad - bc)} \begin{pmatrix} d & -b \\ -c & a \end{pmatrix}$$

# Calcul du repère tangent

Pour **un sommet**, **moyenne** des repères tangents des faces adjacentes (comme pour les normales)

⇒ **Ortho-normalisation** du repère en négligeant les déformations anisotropes (Gram-Schmidt)

$$\mathbf{T}' = \mathbf{T} - (\mathbf{N} \cdot \mathbf{T}) \mathbf{N}$$

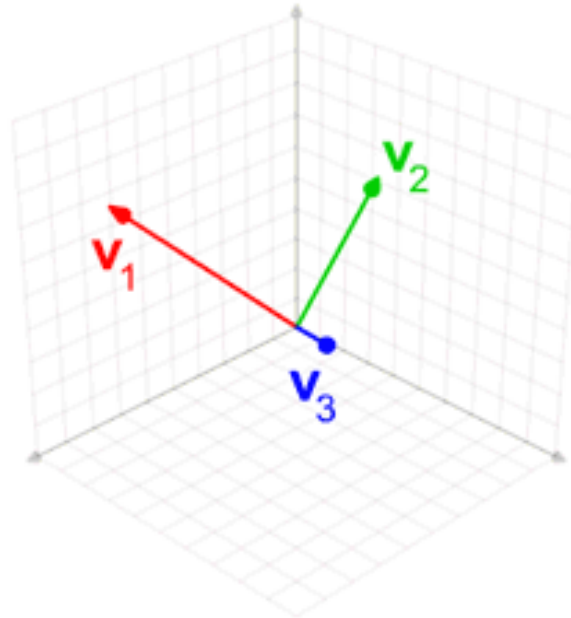
$$\mathbf{B}' = \mathbf{B} - (\mathbf{N} \cdot \mathbf{B}) \mathbf{N} - (\mathbf{T}' \cdot \mathbf{B}) \mathbf{T}' / \|\mathbf{T}'\|$$

...puis re-normaliser

Remarque : attention aux discontinuités des coordonnées de texture

# Calcul du repère tangent

**Ortho-normalisation** de Gram-Schmidt



# Calcul du repère tangent

**Passage du repère tangent au repère local de l'objet :**

$$\begin{pmatrix} x & y & z \end{pmatrix} = \begin{pmatrix} \mathbf{T}' & \mathbf{B}' & \mathbf{N} \end{pmatrix} \begin{pmatrix} s \\ t \\ r \end{pmatrix}$$

# Utilisation du repère tangent

## Au chargement de l'objet :

- calcul des repères tangents par sommet
- on peut ne stocker que  $\mathbf{N}$ ,  $\mathbf{T}'$  et  $m$  :

$$\mathbf{B}' = m (\mathbf{N} \times \mathbf{T}')$$

$$\text{avec } m = \pm 1 = \det(\mathbf{T}' \ \mathbf{B}' \ \mathbf{N})$$

# Utilisation du repère tangent

## Au moment du rendu :

1. envoi des repères tangents ( $\mathbf{N}$ ,  $\mathbf{T}'$  et  $m$ ) au vertex shader
2. interpolation des vecteurs par le *rasterizer*
3. re-normalisation des vecteurs dans le fragment shader
4. calcul de  $\mathbf{B}'$
5. lecture de la carte des normales
6. *remapping* de la normale de  $[0, 1] \rightarrow [-1, 1]$
7. transformation de la normale du repère tangent vers le repère local, puis vers celui de la vue
8. calcul de l'éclairement

# Bump vs. Normal Map

## Bump mapping

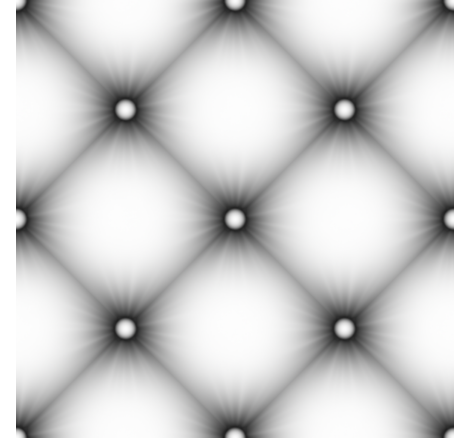
- Stockage de la **hauteur de la surface**
- Calcul du gradient à la volée pour obtenir le déplacement dans le plan tangent

## Normal mapping

- Stockage direct des **normales perturbées**

## Extensions

- *Parallax mapping* : déplacement des coordonnées de texture
- *Displacement mapping* : déplacement de la géométrie



**Texture diffuse**



**Normal mapping**



**Parallax mapping**



**Displacement mapping**



<http://www.d3dcoder.net>

# Réflexions



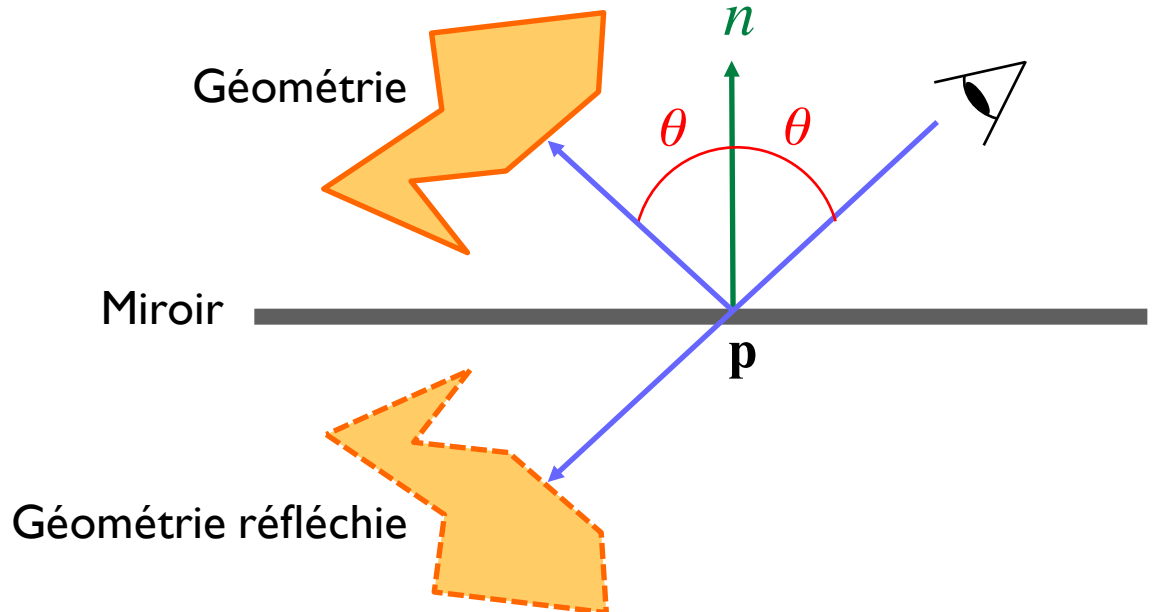
[Haerberli & Segal 1993]

# Réflexions planaires – miroir

**Miroir = surface planeaire réfléchissante**

Tracer la scène une deuxième fois,  
réfléchie par rapport au plan du miroir

- Calculer la **matrice de réflexion**  $M =$

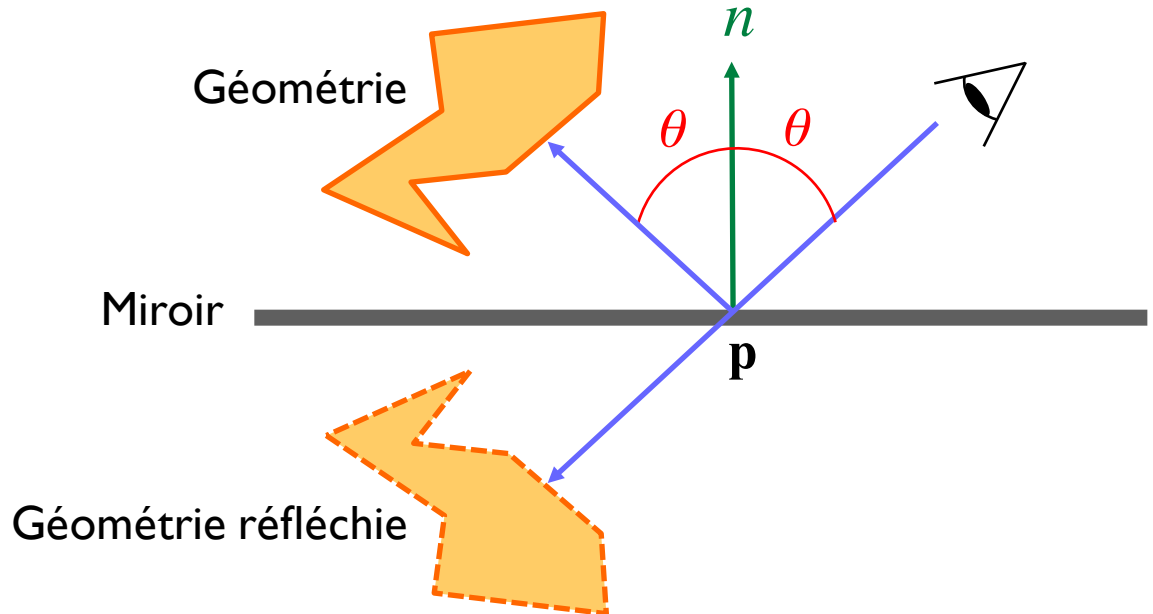


# Réflexions planaires – miroir

**Miroir = surface planeaire réfléchissante**

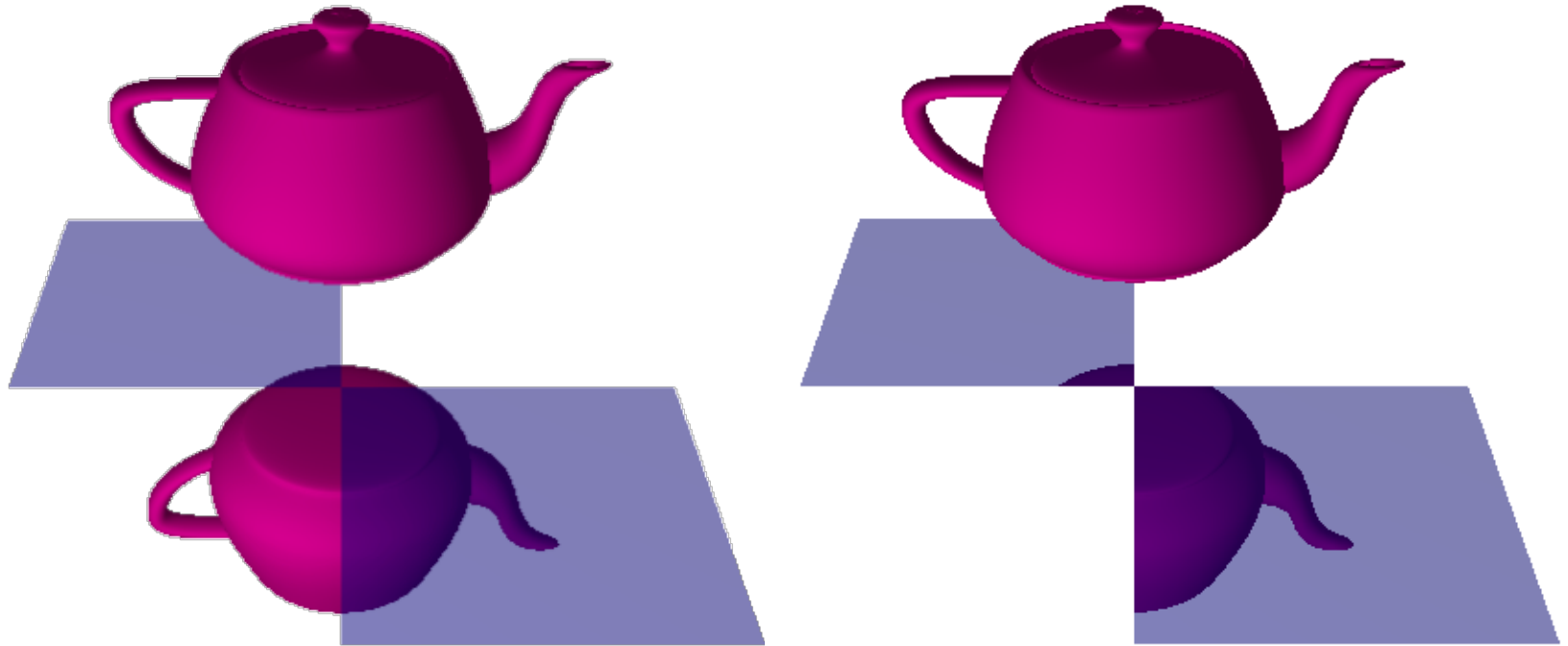
Tracer la scène une deuxième fois,  
réfléchie par rapport au plan du miroir

- Calculer la **matrice de réflexion**  $\mathbf{M} = \mathbf{F}^{-1} \mathbf{S}(1, -1, 1) \mathbf{F}$   
avec  $\mathbf{F} = \mathbf{R}(n, (0, 1, 0)) \mathbf{T}(-\mathbf{p})$
- Concaténer  $\mathbf{M}$  avec la matrice de vue

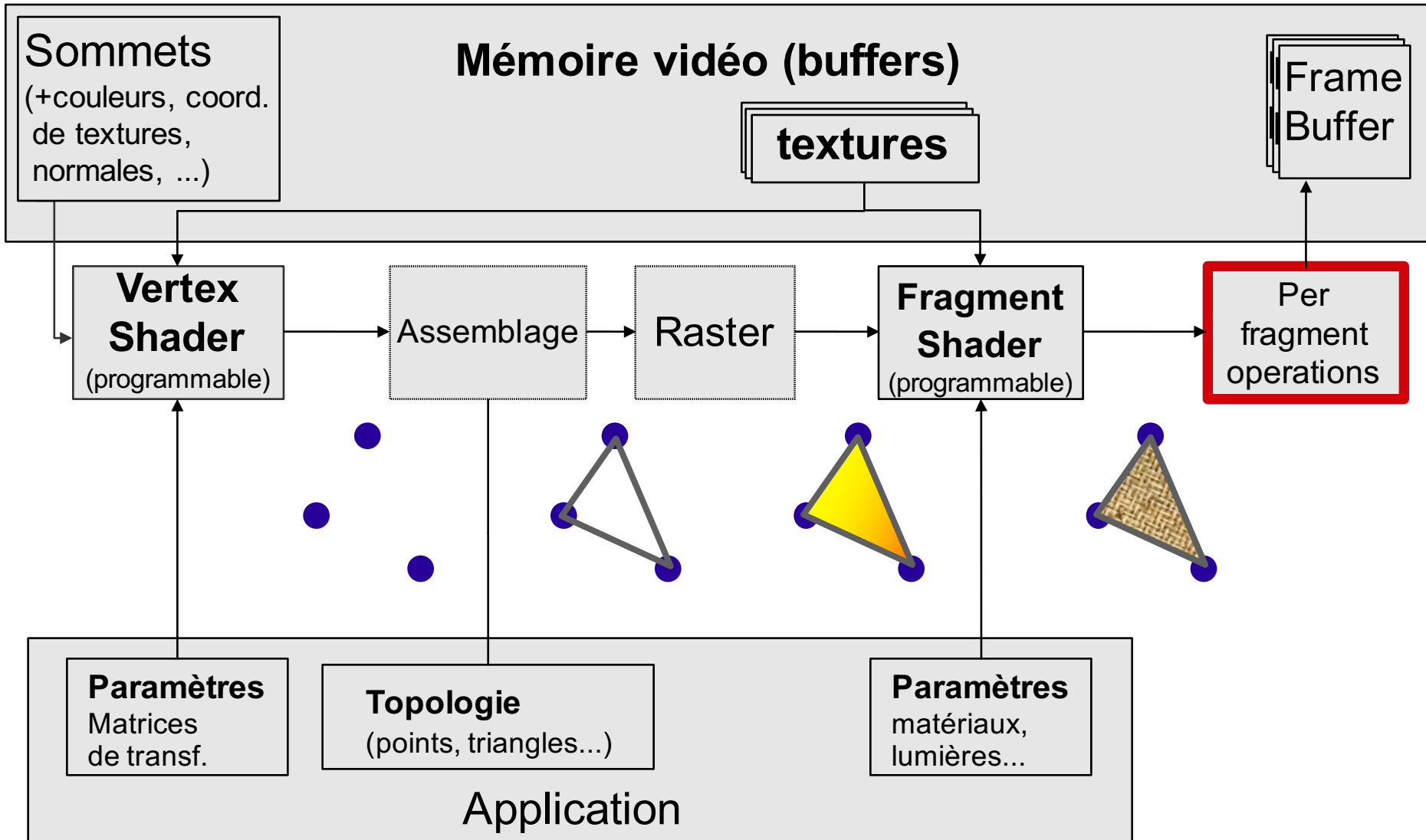


# Réflexions planaires – miroir

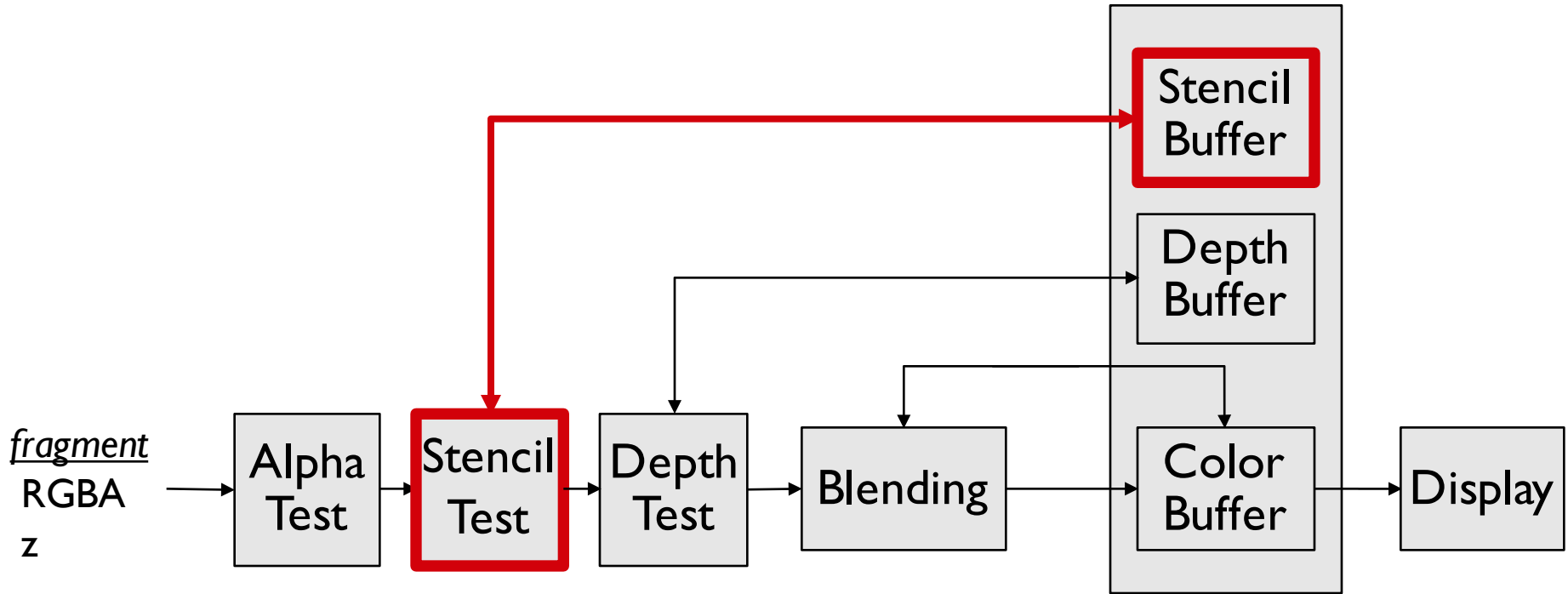
Utilisation du **stencil buffer** pour limiter la réflexion au polygone du miroir



# OpenGL



# Stencil Buffer



# Utilisation du Stencil Buffer

## Test par pixel sur la valeur du stencil buffer

- Fragment rejeté si test raté
- Test effectué avant le test de profondeur

## Test = func (ref & mask , svalue & mask)

- **&** = ET logique bits à bits
- mask = entier 32 bits
- ref = valeur de référence (ce n'est pas un attribut du fragment)
- func = `GL_{ALWAYS, NEVER, LESS, EQUAL, GREATER, NOTEQUAL, GEQUAL, LEQUAL}`
- svalue = valeur dans le stencil buffer
- Cf.: `glStencilFunc(func, ref, mask)`  
`glEnable/Disable(GL_STENCIL_TEST)`

# Utilisation du Stencil Buffer

## Différentes opérations sur la valeur dans le stencil buffer selon :

- test de stencil raté (*sfail*)
- test de profondeur raté (*dpfail*)
- test de profondeur réussi (*dppass*)  
⇒ `glStencilOp(fail, zfail, zpass)`

## Opérations possibles

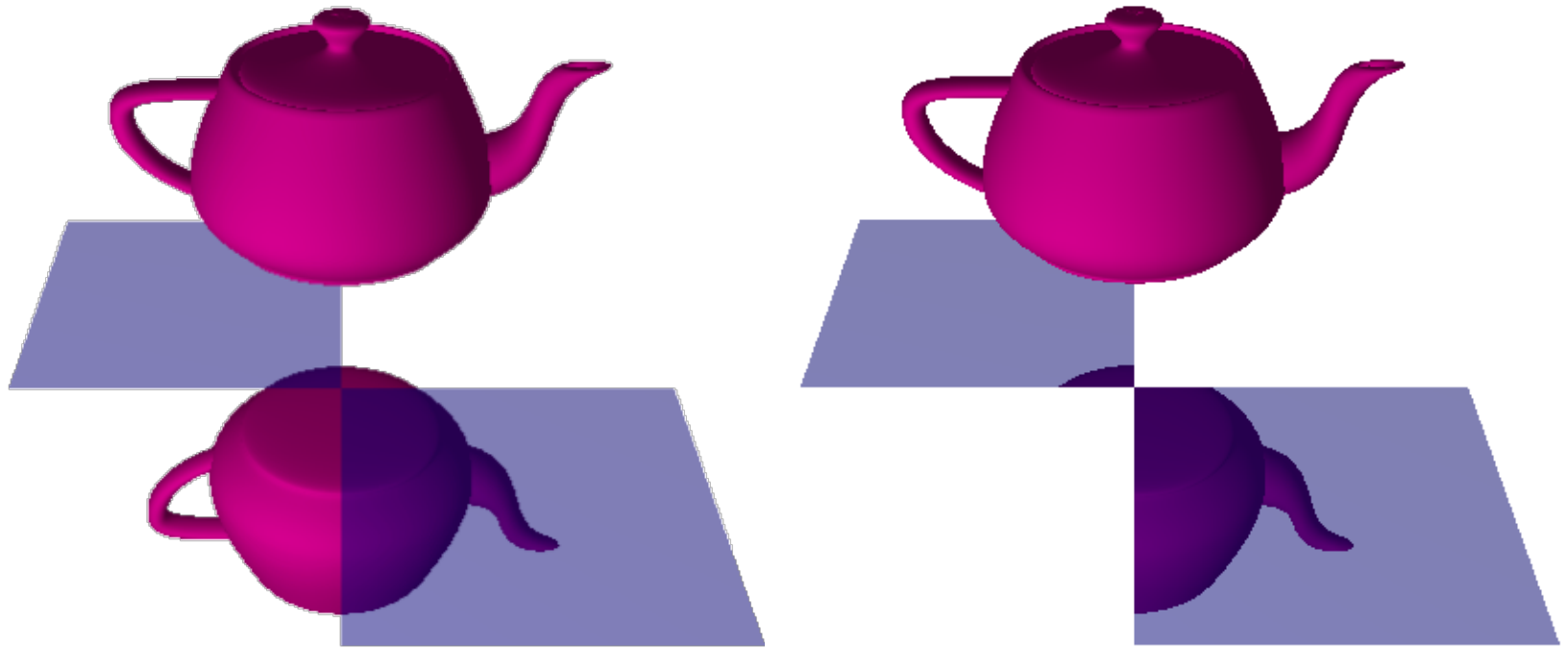
- `GL_KEEP` : garder la valeur
- `GL_REPLACE` : remplacer par la valeur référence
- `GL_ZERO` : remplacer par zéro
- `GL_INCR`, `GL_DECR` : incrémenter, décrémenter  
(avec saturation, c.-à-d. :  $255++ \Rightarrow 255$  et  $0-- \Rightarrow 0$ )
- `GL_INVERT` : inverser bit à bit
- `GL_INCR_WRAP`, `GL_DECR_WRAP` : incrémenter, décrémenter  
(avec bouclage sur l'octet, c.-à-d. :  $255++ \Rightarrow 0$  et  $0-- \Rightarrow 255$ )

# Exemple du miroir

```
glStencilFunc(GL_ALWAYS, 1, 255);
glStencilOp(GL_KEEP, GL_KEEP, GL_REPLACE);
glEnable(GL_STENCIL_TEST);
glColorMask(GL_FALSE, GL_FALSE, GL_FALSE, GL_FALSE);
glDepthMask(GL_FALSE);
// tracer le plan, dans le stencil uniquement
glColorMask(GL_TRUE, GL_TRUE, GL_TRUE, GL_TRUE);
glDepthMask(GL_TRUE);
// activer un vertex shader avec calcul de la
symétrie
// et de la distance de clipping
glStencilFunc(GL_EQUAL, 1, 255);
glStencilOp(GL_KEEP, GL_KEEP, GL_KEEP);
// tracer la scène
glDisable(GL_STENCIL_TEST);
// tracer le plan avec blending
// ou seulement dans le depth buffer
```

# Réflexions planaires – miroir

Utilisation du **stencil buffer** pour limiter la réflexion au polygone du miroir



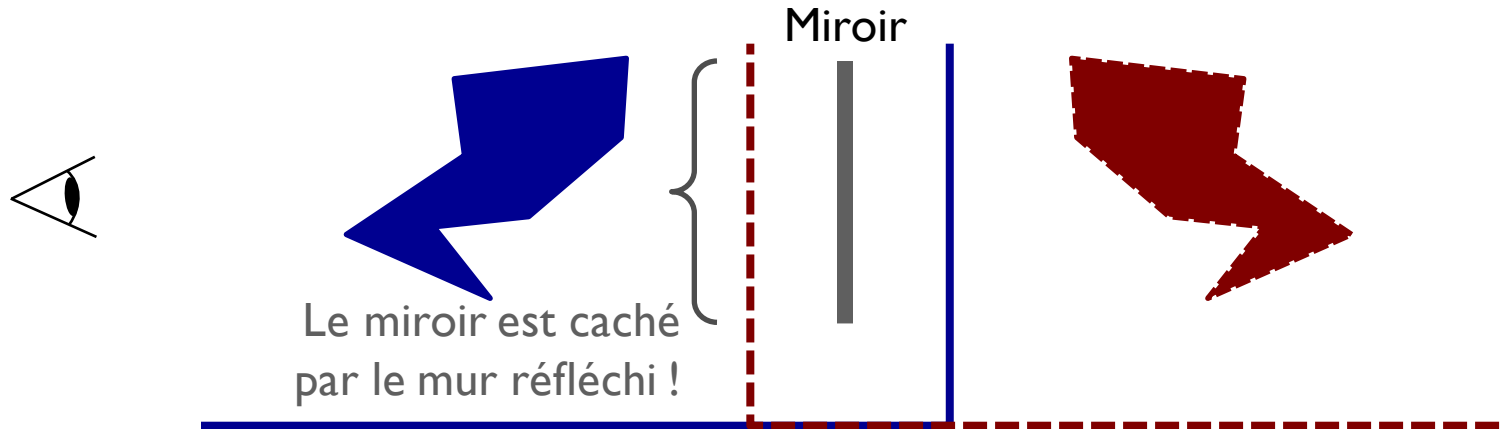
Mettre le stencil buffer à 0

Dessiner le polygone du miroir en mettant le stencil à 1

Dessiner la scène réfléchie seulement là où le stencil est à 1

# Miroir et plan de clipping

Attention, si le miroir est **devant** un mur...



...il ne faut pas redessiner le mur

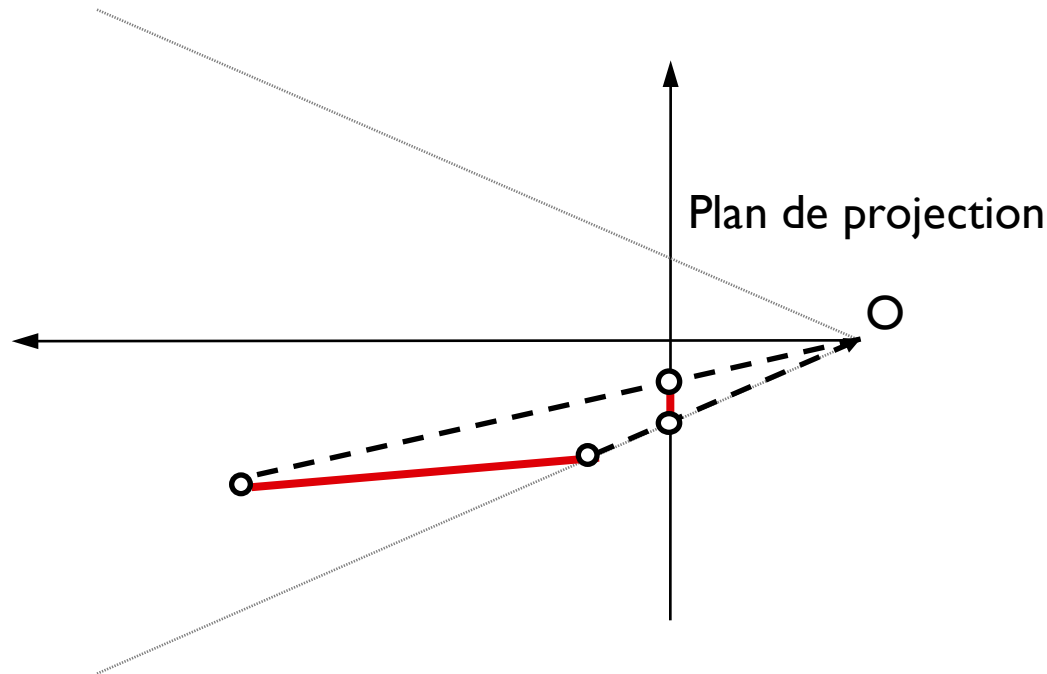
⇒ Utilisation de **plans de clipping** supplémentaires

# Clipping

**Projection perspective = division par  $z$**

Que se passe-t-il quand un point est derrière la caméra ?  
Sur le plan de projection ?

⇒ **Solution : *clipping***



# Plans de clipping

CPU :

```
glEnable/Disable(GL_CLIP_DISTANCEi)
```

Vertex shader output :

```
float gl_ClipDistance[i]
```

- Interpolée linéairement dans la primitive
- Partie de la primitive dont  $gl\_ClipDistance < 0.0$  « clippée »

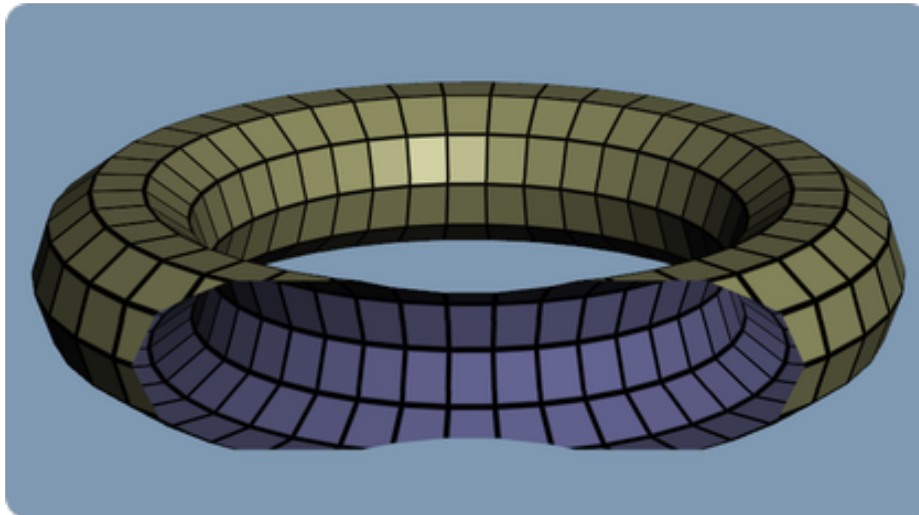


Image : <http://github.prideout.net/clip-planes/>

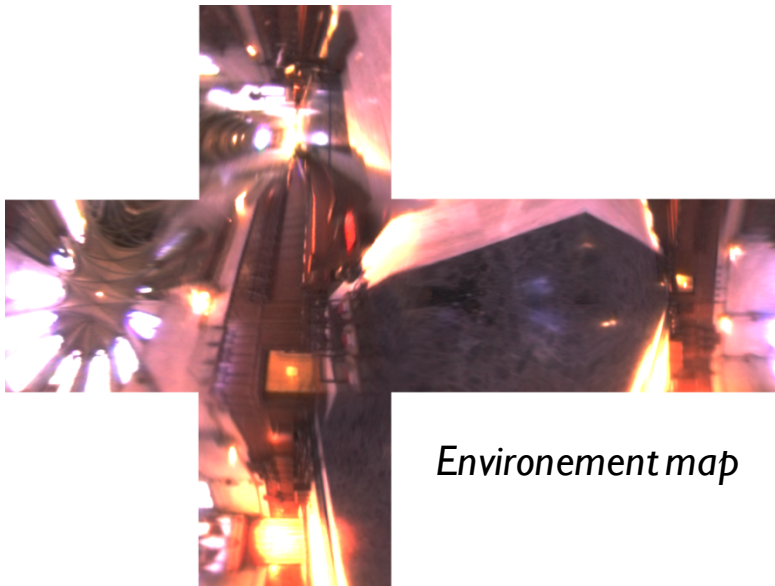
# Environment Mapping

## Hypothèse

réflexion dépend uniquement de la **direction**

⇒ objets réfléchis et source lumineuses **lointaines**

⇒ surface réfléchissante ne se réfléchit **pas elle-même**



*Environnement map*



Image d'Henrik Wann Jensen - Environment map de Paul Debevec

# Spherical mapping



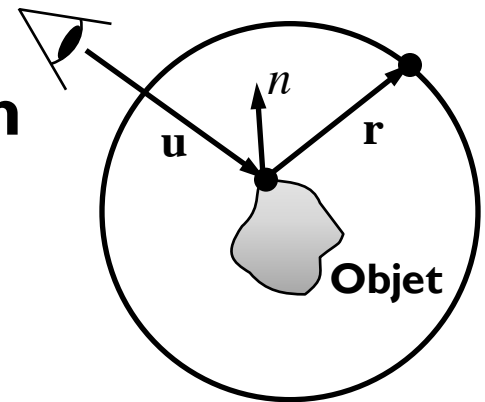
[Williams 83, Miller & Hoffman 84]

## Utilisation

- Texture d'environnement mappée sur une (hémi)sphère
- Calcul des coordonnées de textures à la volée
  - calculer le vecteur réfléchi :  $\mathbf{r} = \mathbf{u} - 2n(n \cdot \mathbf{u}) = \text{reflect}(\mathbf{u}, n)$
  - puis mapping 3D unitaire  $\rightarrow$  2D
    - ...différentes possibilités (1 hémisphère, 2 hémisphères, etc.)
- Par sommet (vertex shader) ou par fragment (fragment shader)

## Qualité dépend de la paramétrisation

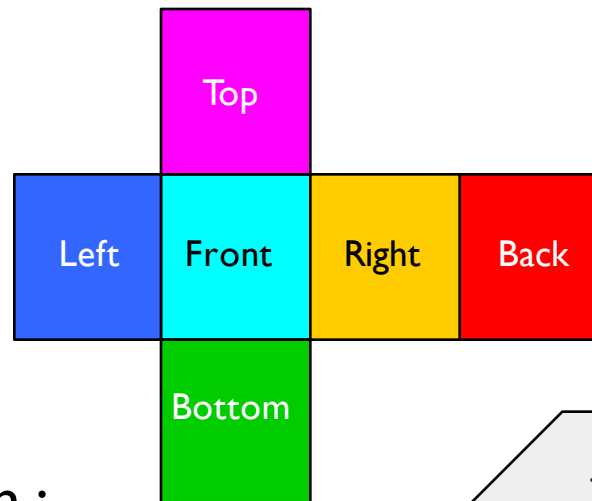
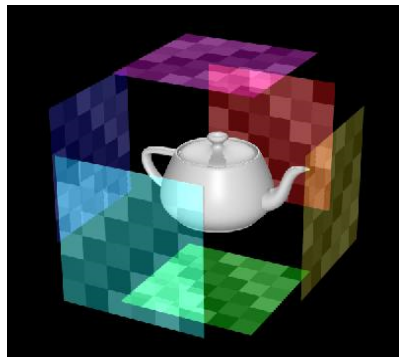
$\Rightarrow$  fortes déformations



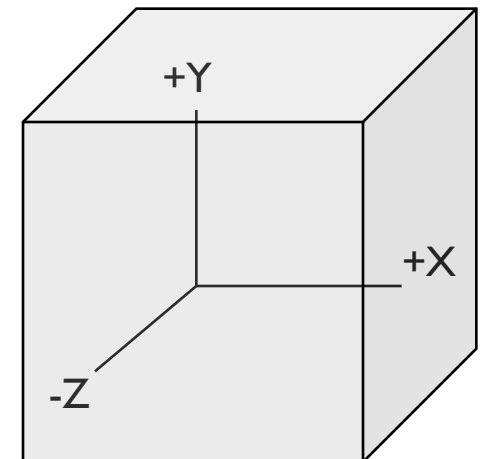
# Cube mapping [Green 1986]

## Paramétrisation de la sphère par **un cube**

- Une « cube map » est composée de six textures carrées de même taille, représentant un cube centré à l'origine :



- Chaque texture du cube correspond à une direction :  
 $+X, -X, +Y, -Y, +Z, -Z$
- **Équivalent à 6 textures 2D** avec un accès particulier...



# Cube mapping

La cube map est accédée par des **coordonnées de textures 3D** ( $r_x, r_y, r_z$ )

Une **transformation 3D**  $\rightarrow$  **2D** est réalisée (automatiquement en GLSL) pour accéder à l'une des 6 textures 2D :

- sélectionner la texture par la composante la plus grande : soit T la plus grande et (sc, tc) les deux autres
- alors, coordonnées 2D (s,t) :  
$$s = (sc / \text{abs}(T) + 1) / 2$$
$$t = (tc / \text{abs}(T) + 1) / 2$$
- utiliser (s,t) pour accéder au texel de la texture sélectionnée

# Cube mapping en pratique

## OpenGL

- Nouveaux paramètres de destination :  
`GL_TEXTURE_CUBE_MAP_{POSITIVE,NEGATIVE}_{X,Y,Z}`

- Exemple :

```
glTexImage2D(GL_TEXTURE_CUBE_MAP_POSITIVE_X, 0, GL_RGB,
             w, h, 0, GL_RGB, GL_UNSIGNED_BYTE, face_px);
glTexImage2D(GL_TEXTURE_CUBE_MAP_NEGATIVE_X, 0,
             GL_RGB, w, h, 0, GL_RGB, GL_UNSIGNED_BYTE, face_nx);
// idem pour les 2 autres directions
```

## Shader

- Déclaration du sampler : `uniform samplerCube cubemap;`
- Utilisation :  
`vec3 r = reflect(u,n);`  
`vec4 color = texture(cubemap, r);`

# Réflexions dynamiques



⇒ **Rendu hors-écran :**  
**Framebuffer Object**

# Framebuffer Objects (FBO)

**Collection de buffers** : lorsqu'un FBO est lié, tous les rendus sont écrits dans les buffers associés

Un FBO dispose de plusieurs **attachements** :

- un ou plusieurs **color buffers** (max. spécifique au GPU)
  - ⇒ **render buffer** : optimisé, mais pas réutilisable dans un 2<sup>nd</sup> shader
  - ⇒ **texture**
- au maximum **un depth buffer**
- au maximum **un stencil buffer**

# FBO – création

`glGenFramebuffer(1,&id) // on crée un FBO`

`glBindFramebuffer(GL_DRAW_FRAMEBUFFER, id) // on l'active`

`glGenTexture(...)` // on crée une texture pour stocker la couleur

`glFramebufferTexture2D(GL_DRAW_FRAMEBUFFER,  
GL_COLOR_ATTACHMENT0 ...) // on l'attache au FBO`

`glGenRenderbuffer(...)` // on crée un render buffer  
// pour stocker la depth map

`glFramebufferRenderbuffer(GL_DRAW_FRAMEBUFFER,  
GL_DEPTH_ATTACHMENT, ...) // on l'attache au FBO`

**FBO** : [http://www.opengl.org/wiki/Framebuffer\\_Object](http://www.opengl.org/wiki/Framebuffer_Object)

**Render buffers** :

[http://www.opengl.org/wiki/Renderbuffer\\_Object](http://www.opengl.org/wiki/Renderbuffer_Object)

# FBO – utilisation

```
glBindFramebuffer(GL_DRAW_FRAMEBUFFER, id) // On l'active
// On associe la variable out du fragment shader out_color
// au color buffer 0
glBindFragDataLocation(prg_id, 0, "out_color");
// Important : on redéfinit le viewport à la taille du FBO
glViewport(0, 0, fbo_width, fbo_height);
// On réinitialise les couleurs et le depth buffer
glClear(GL_COLOR_BUFFER_BIT | GL_DEPTH_BUFFER_BIT);
// on dessine dans le FBO
glBindFramebuffer(GL_DRAW_FRAMEBUFFER, 0) //on le désactive
// on peut utiliser la texture et/ou le depth buffer
// pour une seconde passe de rendu
```

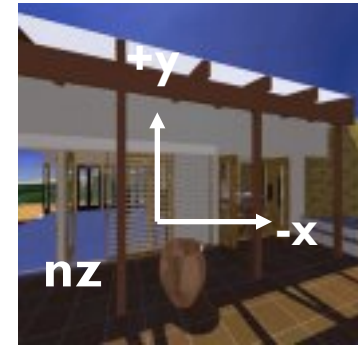
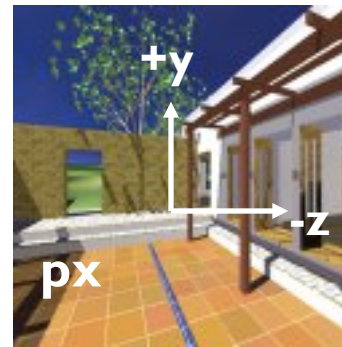
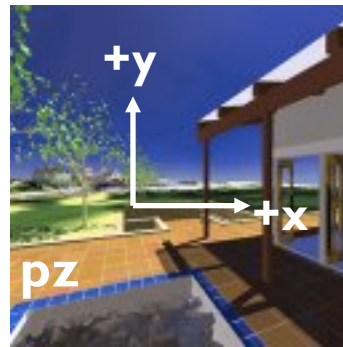
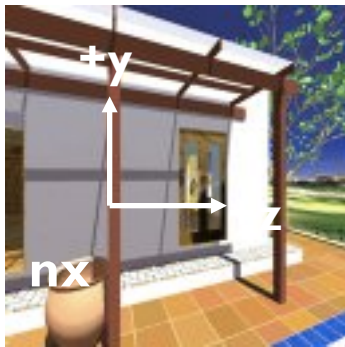
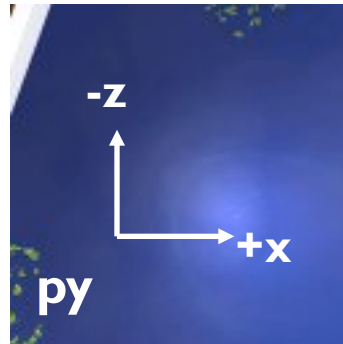
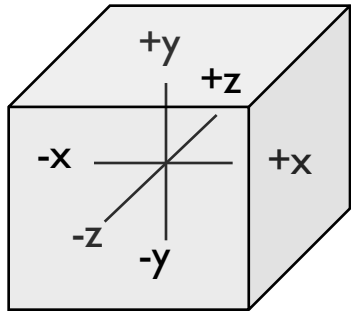
# Réflexions dynamiques

## À chaque image

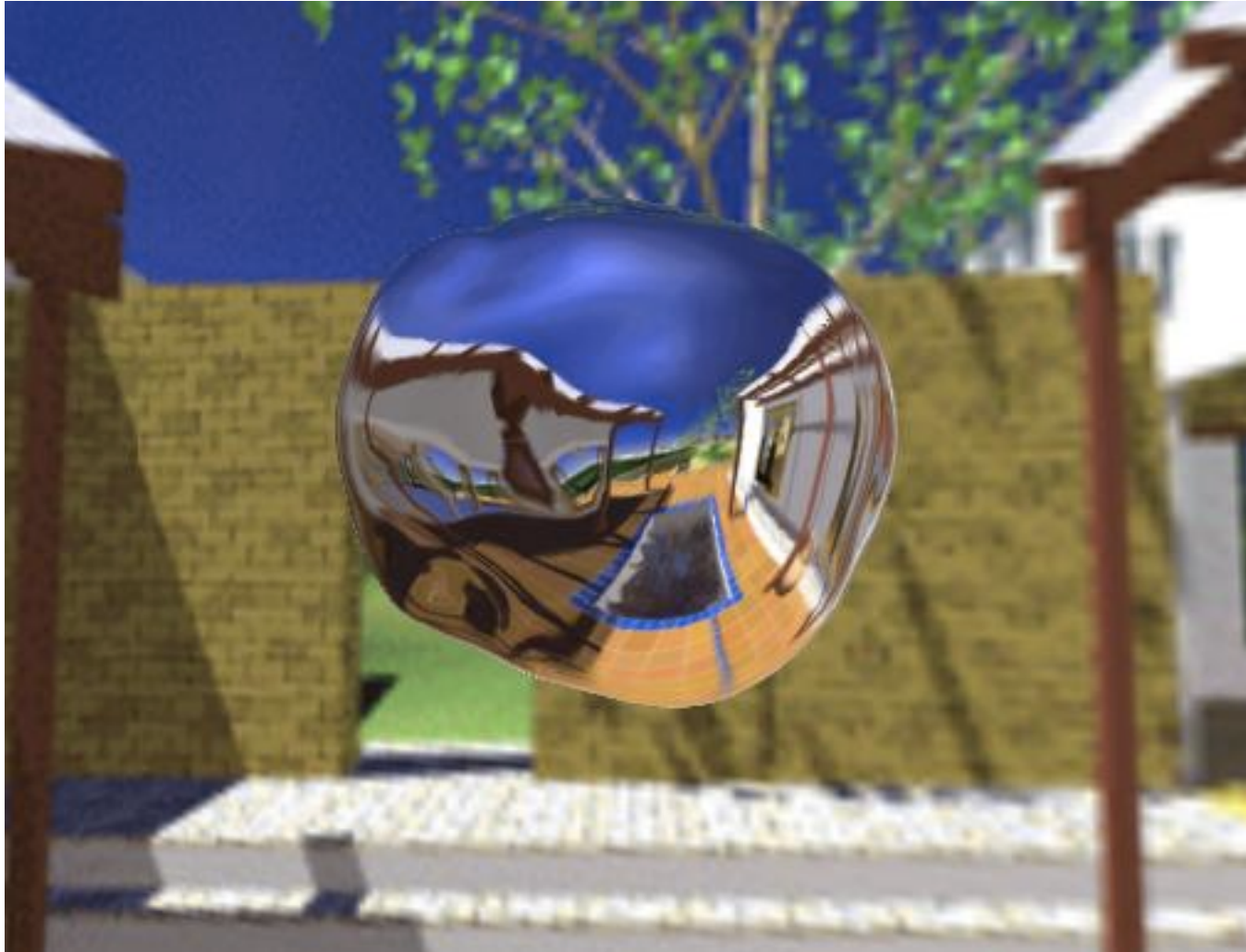
1. Générer les six vues du cube, par ex. pour la 1ère vue :
  - positionner la caméra au centre de l'objet/scène
    - angle d'ouverture de  $90^\circ$
    - direction : +X
  - activer le rendu dans la 1ère image du cube map (FBO)  

```
glFramebufferTexture2D(fbo_id, GL_COLOR_ATTACHMENT0,  
GL_TEXTURE_CUBE_MAP_POSITIVE_X, cubemap_id, 0, 0);
```
  - tracer le reste de la scène
2. Activer la caméra principale
3. Tracer le reste de la scène
4. Activer la cube map et le shader correspondant  
(avec calcul du vecteur réfléchi)
5. Tracer l'objet réfléchissant

# Réflexions dynamiques



# Réflexion dynamique



# Réfraction

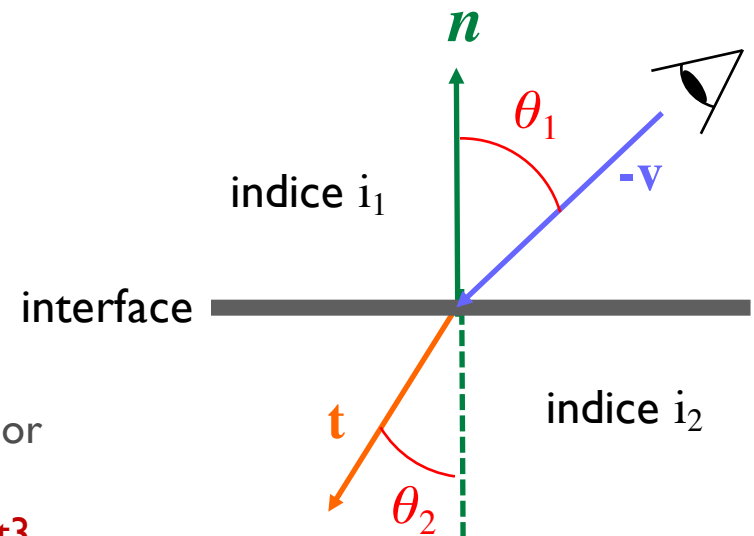
**Snell-Descartes :**  $\frac{\sin\theta_1}{\sin\theta_2} = \frac{i_1}{i_2} = i$  ← indice de réfraction relatif

**Vecteur réfracté :**  $\mathbf{t} = (w - k)\mathbf{n} - i\mathbf{v}$

$$w = i (\mathbf{v} \cdot \mathbf{n})$$

$$k = \sqrt{1 + (w - i)(w + i)}$$

GLSL : `refract(v,n,i)`



Bec, Xavier, "Faster Refraction Formula, and Transmission Color Filtering," in Ray Tracing News, vol. 10, no. 1, January 1997

<http://tog.acm.org/resources/RTNews/html/rtnv10n1.html#art3>

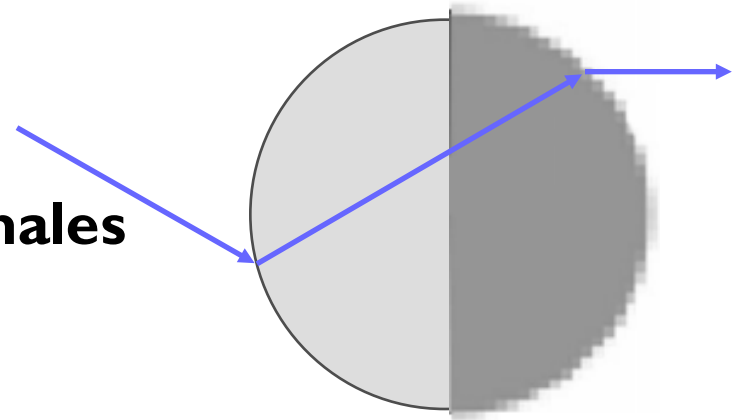
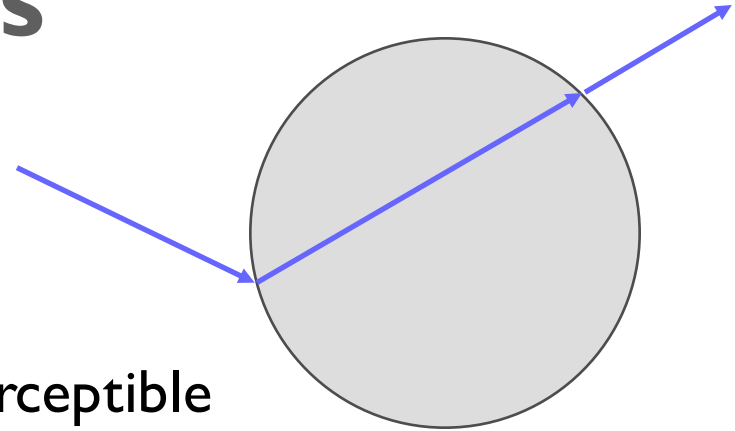
# Réfractions multiples

Dans la majorité des cas,  
**pas prises en compte**

- grosse approximation  
...mais parfois différence quasi imperceptible

## 2 interfaces [Oliveira & Brauwers 2007]

- Rendu des faces arrières :  
stockage des **profondeurs** et **normales**
- Rendu des faces avant :
  - calcul de la direction réfracté,
  - *ray marching* dans le buffer de profondeur (champ de hauteur)
  - calcul de la second direction de réfraction



# Réfractions multiples [Oliveira & Brauwerts 2007]



1 réfraction



2 réfractions

# Réflexions / réfractions glossy

**Pas une seule direction** de réflexion / réfraction

**Solutions :**

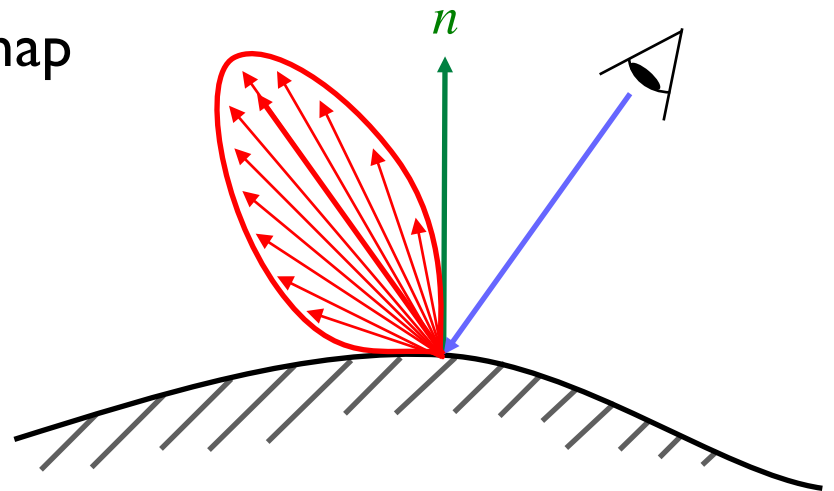
- **Échantillonnage**

⇒ couteux, bruité

- **Pré-filtrage de la carte d'environnement**

hypothèse : même forme du lobe quelque soit le point de vue

⇒ stockage possible de différentes rugosités dans une MIP-map

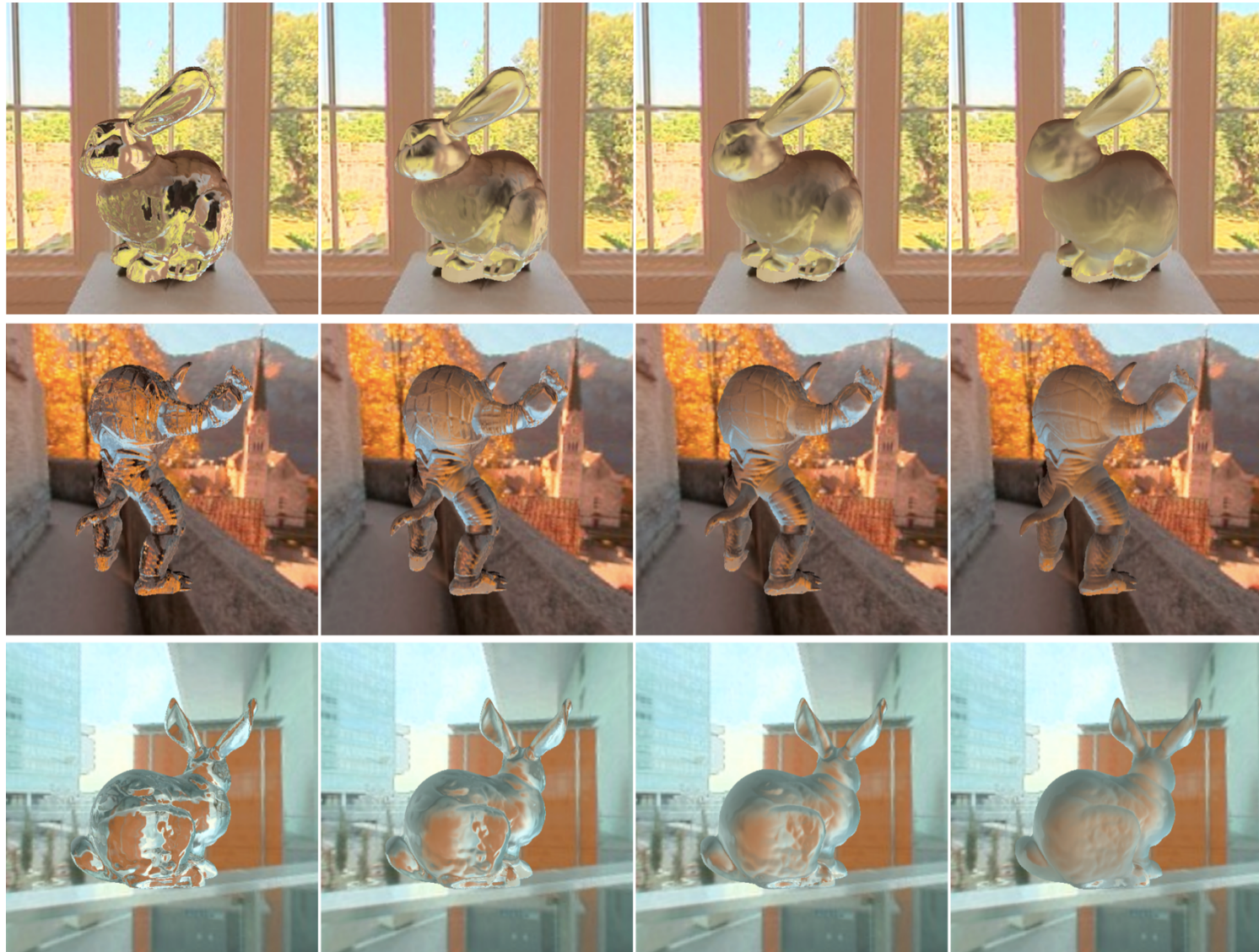


# Réflexions *glossy*



[Ashikhmin & Ghosh 2002]

# Réfractions glossy



[de Rousiers et al. 2012]